

ОПТИМИЗАЦИЯ ГЛАДКОЙ ОДНОЗАМКНУТОЙ ПАНЕЛИРОВАННОЙ ОБОЛОЧКИ ИЗ КОМПОЗИЦИОННЫХ МАТЕРИАЛОВ

В настоящее время полимерные композиционные материалы все больше применяются в производстве коммерческих самолетов, причем в ответственных несущих элементах конструкций, например в центроплане Airbus A380 [1].

Ведущие мировые авиастроительные фирмы занимаются разработкой новых авиалайнеров, в производстве которых планируется применять до 50% и более композиционных материалов. Более того, компания Boeing в конце 2009 года планирует начать поставки нового авиалайнера Boeing 787 Dreamliner вместимостью более 200 пассажиров, фюзеляж и крыло которого главным образом выполнены из полимерных углепластиков [2].

Из сказанного выше следует, что даже поверхностный анализ мировых тенденций по внедрению композиционных материалов в коммерческое авиастроение дает основания считать актуальной проблему оптимизации оболочечных конструкций из композиционных материалов в процессе проектирования новых пассажирских и грузовых самолетов большой вместимости.

Проблема оптимизации гладкой однозамкнутой панелированной оболочки из композиционных материалов является частью поставленной автором задачи по проектированию фюзеляжа самолета с замкнутым по полу силовым контуром поперечного сечения [3]. Ранее описанная математическая модель панелированной оболочки постоянного по длине поперечного сечения подходит для решения прямой задачи – определения напряженно-деформированного состояния (НДС), возникающего в результате действия силовых факторов – осевой силы, изгибающих моментов, перерезывающих сил и внутреннего давления. Однако при переходе к решению оптимизационной задачи возникают трудности, связанные с большим количеством варьируемых переменных, а также с дискретностью изменения толщины панелей, связанной с фиксированной толщиной монослоя пакета КМ.

В качестве оптимизируемого объекта рассматривается симметричное относительно вертикальной оси поперечное сечение гладкой оболочки, разбитое на четыре панели - две боковые, верхнюю и нижнюю (рис. 1). Толщина и структура боковой, верхней и нижней панелей различны. Под структурой понимается схема армирования панели, которая может быть любой комбинацией углов армирования из ряда $[0^\circ]$, $[90^\circ]$, $[\pm\varphi]$, но не более трех разных углов армирования в одной панели, где φ - любой угол из диапазона $0^\circ - 90^\circ$.

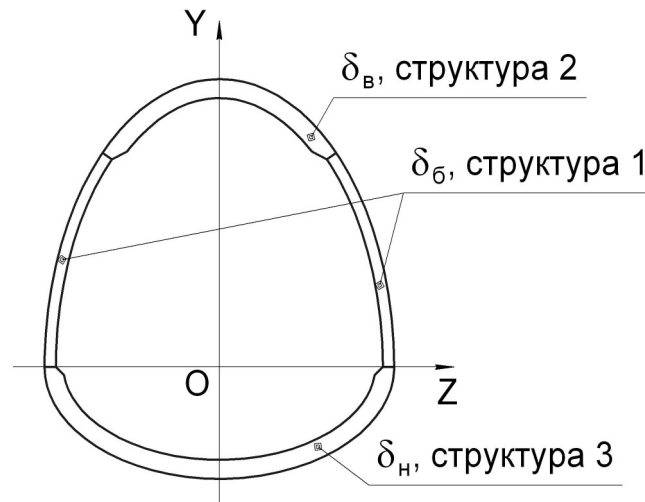


Рисунок 1 – Оптимизируемое поперечное сечение оболочки

Для описания оболочки принимается математическая модель тонкостенного стержня, которая представлена в [4]. Продольные нормальные деформации распределяются по контуру поперечного сечения стержня согласно закону плоскости:

$$\varepsilon_{\alpha} = az + by + c, \quad (1)$$

или

$$\varepsilon_{\alpha} = \varepsilon_{\alpha}(M_z) + \varepsilon_{\alpha}(M_y) + \varepsilon_{\alpha}(N_x), \quad (2)$$

где $\varepsilon_{\alpha}(M_z) = by$ - деформация, возникающая от действия изгибающего момента M_z ;

$\varepsilon_{\alpha}(M_y) = az$ - то же от момента M_y ;

$\varepsilon_{\alpha}(N_x) = c$ - то же от продольной силы N_x .

Равенство (2) имеет графическую интерпретацию (рис. 2). В системе координат Z^*OY можно записать следующее:

$$\begin{aligned} \varepsilon_{\alpha}(M_z)|_{y=-y_0} &= -ay_0 = \varepsilon_H, \\ \varepsilon_{\alpha}(M_z)|_{y=H-y_0} &= a(H-y_0) = \varepsilon_B. \end{aligned} \quad (3)$$

Решив эту систему уравнений относительно коэффициента a , получим

$$a = \frac{\varepsilon_B - \varepsilon_H}{H}. \quad (4)$$

Подставив (4) в любое из равенств (3), найдем координату y_0 :

$$y_0 = -H \frac{\varepsilon_H}{\varepsilon_B - \varepsilon_H}. \quad (5)$$

Аналогично (3) можно записать:

$$\varepsilon_\alpha(M_y) \Big|_{y=-\frac{B}{2}} = -b \frac{B}{2} = \varepsilon_B, \quad (6)$$

тогда

$$b = -\frac{2\varepsilon_B}{B}. \quad (7)$$

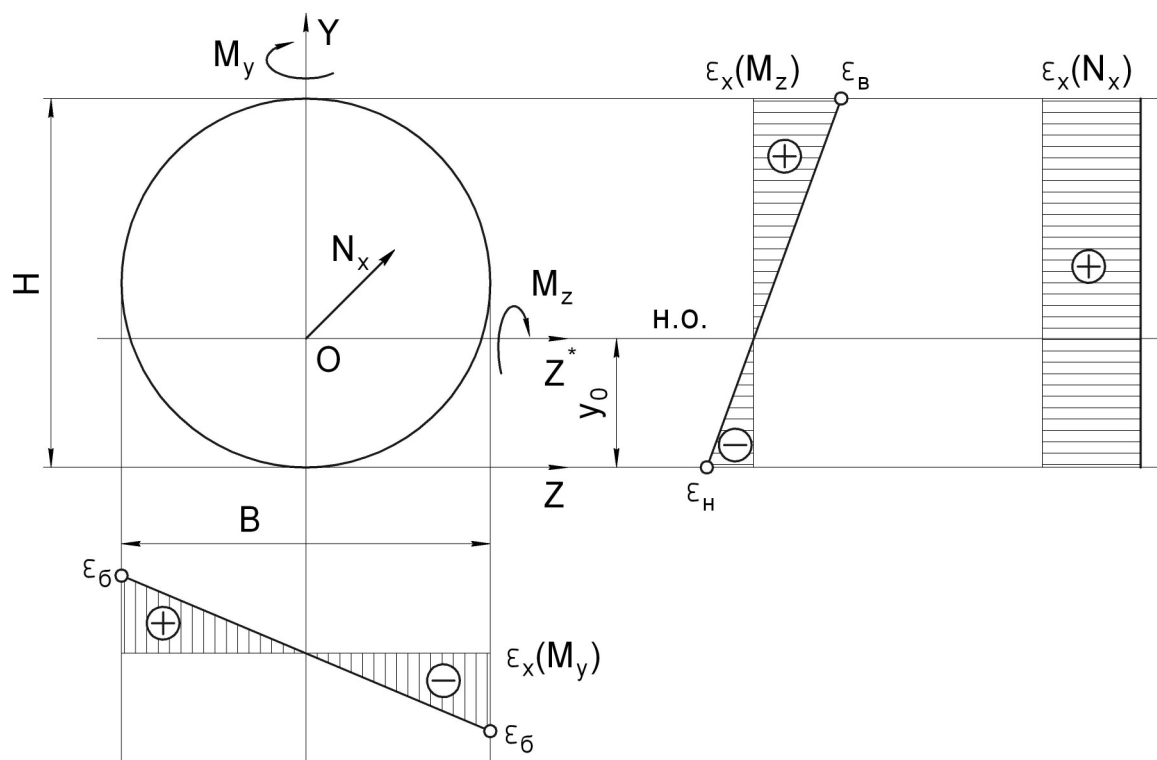


Рисунок 2 – Продольная деформация стержня

Теперь, зная коэффициенты a и b , можно записать следующее:

$$\varepsilon_\alpha(M_z) = \frac{\varepsilon_B - \varepsilon_H}{H} y, \quad \varepsilon_\alpha(M_y) = -\frac{2\varepsilon_B}{B} z. \quad (8)$$

Кроме того,

$$\varepsilon_{\alpha}(N_x) = \frac{N_x}{S}, \quad (9)$$

где $S = \int \delta E_{\alpha} ds$.

С учетом (8) и (9) формула для определения деформации (2) примет вид

$$\varepsilon_{\alpha} = \frac{\varepsilon_{\text{в}} - \varepsilon_{\text{н}}}{H} y - \frac{2\varepsilon_{\text{б}}}{B} z + \frac{N_x}{S}. \quad (10)$$

Так как для заданных величин $\varepsilon_{\text{в}}$ и $\varepsilon_{\text{н}}$ положение y_0 предопределено (рис. 2), то, естественно, должно выполняться условие равенства нулю механического статического момента сечения относительно оси OZ^* :

$$S_z = 0, \quad (11)$$

который можно представить как сумму механических статических моментов панелей:

$$S_{z\text{в}} + 2S_{z\text{б}} + S_{z\text{н}} = 0, \quad (12)$$

где $S_{z\text{в}}$, $S_{z\text{б}}$, $S_{z\text{н}}$ - соответственно механические статические моменты верхней, боковой и нижней панелей относительно оси OZ^* .

В общем виде механический статический момент i -й панели можно записать так:

$$S_{zi} = \delta_i E_{\alpha i} \int_{s_i} y ds, \quad (13)$$

где $i = (\text{в}, \text{б}, \text{н})$; δ_i , $E_{\alpha i}$ - толщина и модуль упругости в направлении оси Ox i -й панели соответственно.

Введем обозначение:

$$A_i = \int_{s_i} y ds, \quad (14)$$

тогда выражение (11) с учетом (13) и (14) примет вид

$$\delta_{\varepsilon} E_{\alpha\varepsilon} A_{\varepsilon} + 2\delta_{\sigma} E_{\alpha\sigma} A_{\sigma} + \delta_{\eta} E_{\alpha\eta} A_{\eta} = 0. \quad (15)$$

Аналогичное условие относительно оси OY выполняется автоматически в силу симметрии контура.

Составим уравнения равновесия моментов относительно осей OZ* и OY:

$$\begin{aligned} M_z &= \oint \delta E_{\alpha} \varepsilon_{\alpha} (M_z) y \, ds, \\ M_y &= -\oint \delta E_{\alpha} \varepsilon_{\alpha} (M_y) z \, ds, \end{aligned} \quad (16)$$

где δ , E_{α} - толщина и модуль упругости стенки оболочки в направлении α .

Правые части (16) можно разбить на сумму интегралов аналогично (15) и вынести за знак интеграла произведения $\delta_j E_{\alpha j}$, так как они постоянны в пределах i -й панели:

$$\begin{aligned} M_z &= \frac{\varepsilon_{\varepsilon} - \varepsilon_{\eta}}{H} \left(\delta_{\varepsilon} E_{\alpha\varepsilon} \int_{s_{\varepsilon}} y^2 \, ds + 2\delta_{\sigma} E_{\alpha\sigma} \int_{s_{\sigma}} y^2 \, ds + \delta_{\eta} E_{\alpha\eta} \int_{s_{\eta}} y^2 \, ds \right), \\ M_y &= -\frac{2\varepsilon_{\sigma}}{B} \left(\delta_{\varepsilon} E_{\alpha\varepsilon} \int_{s_{\varepsilon}} z^2 \, ds + 2\delta_{\sigma} E_{\alpha\sigma} \int_{s_{\sigma}} z^2 \, ds + \delta_{\eta} E_{\alpha\eta} \int_{s_{\eta}} z^2 \, ds \right). \end{aligned} \quad (17)$$

Если ввести обозначения

$$B_i = \int_{s_i} y^2 \, ds; \quad C_i = \int_{s_i} z^2 \, ds, \quad (18)$$

то равенства (17) можно привести к более компактному виду

$$\begin{aligned} \delta_{\varepsilon} E_{\alpha\varepsilon} B_{\varepsilon} + 2\delta_{\sigma} E_{\alpha\sigma} B_{\sigma} + \delta_{\eta} E_{\alpha\eta} B_{\eta} &= M_z \frac{H}{\varepsilon_{\varepsilon} - \varepsilon_{\eta}}, \\ \delta_{\varepsilon} E_{\alpha\varepsilon} C_{\varepsilon} + 2\delta_{\sigma} E_{\alpha\sigma} C_{\sigma} + \delta_{\eta} E_{\alpha\eta} C_{\eta} &= -M_y \frac{B}{2\varepsilon_{\sigma}}. \end{aligned} \quad (19)$$

Записывая выражения (15) и (19) вместе,

$$\begin{aligned} \delta_{\epsilon} E_{\alpha\epsilon} A_{\epsilon} + 2\delta_{\beta} E_{\alpha\beta} A_{\beta} + \delta_{\eta} E_{\alpha\eta} A_{\eta} &= 0, \\ \delta_{\epsilon} E_{\alpha\epsilon} B_{\epsilon} + 2\delta_{\beta} E_{\alpha\beta} B_{\beta} + \delta_{\eta} E_{\alpha\eta} B_{\eta} &= M_z \frac{H}{\epsilon_{\epsilon} - \epsilon_{\eta}}, \\ \delta_{\epsilon} E_{\alpha\epsilon} C_{\epsilon} + 2\delta_{\beta} E_{\alpha\beta} C_{\beta} + \delta_{\eta} E_{\alpha\eta} C_{\eta} &= -M_y \frac{B}{2\epsilon_{\beta}}, \end{aligned} \quad (20)$$

получаем систему уравнений с тремя неизвестными $(\delta_{\epsilon} E_{\alpha\epsilon})$, $(\delta_{\beta} E_{\alpha\beta})$, $(\delta_{\eta} E_{\alpha\eta})$, обеспечивающими заданные деформации $\epsilon_{\epsilon}, \epsilon_{\beta}, \epsilon_{\eta}$ и положение нейтральной оси.

Пока вынесем за «скобки» дополнительные напряжения и деформации от N_x . Их можно считать не зависящими от координаты x , т.е. константами в пределах проектируемого отсека.

Таким образом, получены значения $(\delta E_{\alpha})_{\epsilon}$, $(\delta E_{\alpha})_{\beta}$, $(\delta E_{\alpha})_{\eta}$ как функции от деформаций $\epsilon_{\epsilon}, \epsilon_{\beta}, \epsilon_{\eta}$.

Покажем, что поток касательных сил (ПКС) также однозначно определяется значениями $(\delta E_{\alpha})_{\epsilon}$, $(\delta E_{\alpha})_{\beta}$, $(\delta E_{\alpha})_{\eta}$, т.е. справедлива запись

$$q_{\alpha\beta} = f(\epsilon_{\epsilon}, \epsilon_{\beta}, \epsilon_{\eta}). \quad (21)$$

Общая формула для определения ПКС в тонкостенном стержне представлена в [4]:

$$q_{\alpha\beta} = Q_z F_z(s) + Q_y F_y(s) + \frac{M_x}{2F}, \quad (22)$$

где Q_x, Q_y и M_x – перерезывающие силы и крутящий момент в сечении оболочки (рис. 2);

$$F_z(s) = -\frac{k}{D_y} \left[\bar{S}_y(s) - \frac{1}{2F} \oint \bar{S}_y(s) r ds \right];$$

$$F_y(s) = -\frac{k}{D_z} \left[\bar{S}_z(s) - \frac{1}{2F} \oint \bar{S}_z(s) r ds \right];$$

F – ометаемая площадь контура;

k – коэффициент асимметрии, который в нашем случае равен 1 – контур симметричен относительно оси OY ;

D_z, D_y – механические моменты инерции сечения относительно осей OZ^* и OY соответственно;

\bar{S}_z, \bar{S}_y – механические статические моменты инерции отсеченной части контура;

r – длина перпендикуляра, опущенного из принятого полюса (в нашем случае точка O на рис. 2) на касательную к контуру поперечного сечения в текущей точке.

Механические моменты инерции D_z, D_y запишутся следующим образом:

$$\begin{aligned} D_z &= \oint (\delta E_\alpha) y^2 ds, \\ D_y &= \oint (\delta E_\alpha) z^2 ds, \end{aligned} \quad (23)$$

а механические статические моменты отсеченной части контура –

$$\begin{aligned} \bar{S}_z &= \int_0^s (\delta E_\alpha) y ds, \\ \bar{S}_y &= \int_0^s (\delta E_\alpha) z ds. \end{aligned} \quad (24)$$

Как видно из формул (23) и (24), механические моменты инерции и механические статические моменты сечения определяются произведениями (δE_α) и геометрией контура, т.е. равенство (21) справедливо.

Зная ПКС, можно определить сдвиговые деформации:

$$\gamma_{\alpha\beta} = \frac{q_{\alpha\beta}}{G_{\alpha\beta}}, \quad (25)$$

где $G_{\alpha\beta}$ – модуль сдвига стенки оболочки.

Окружное усилие в оболочке определяется формулой:

$$N_\beta = P\rho, \quad (26)$$

где ρ – радиус кривизны контура.

Тогда окружные деформации запишутся в виде

$$\varepsilon_{\beta} = \frac{P\rho}{\delta E_{\beta}}, \quad (27)$$

где E_{β} - модуль упругости стенки оболочки в направлении β .

Зная деформации пакета (10), (25) и (27) и углы армирования слоев, можно определить деформации слоев по известным формулам:

$$\begin{aligned} \varepsilon_{1i} &= \varepsilon_{\alpha} \cos^2 \varphi_i + \varepsilon_{\beta} \sin^2 \varphi_i + \gamma_{\alpha\beta} \sin \varphi \cos \varphi_i, \\ \varepsilon_{2i} &= \varepsilon_{\alpha} \sin^2 \varphi_i + \varepsilon_{\beta} \cos^2 \varphi_i - \gamma_{\alpha\beta} \sin \varphi \cos \varphi_i, \\ \gamma_{12i} &= (\varepsilon_{\beta} - \varepsilon_{\alpha}) \sin 2\varphi_i + \gamma_{\alpha\beta} \cos 2\varphi_i, \end{aligned} \quad (28)$$

где 1,2 – система координат i -го слоя; φ_i - угол армирования i -го слоя.

Напряжения в слоях находят по формулам

$$\begin{aligned} \sigma_{1i} &= \bar{E}_{1i}(\varepsilon_{1i} + \mu_{21i}\varepsilon_{2i}), \\ \sigma_{2i} &= \bar{E}_{2i}(\varepsilon_{2i} + \mu_{12i}\varepsilon_{1i}), \\ \tau_{12i} &= G_{12i}\gamma_{12i}, \end{aligned} \quad (29)$$

где $\bar{E}_{1i} = \frac{E_{1i}}{1 - \mu_{12i}\mu_{21i}}$, $\bar{E}_{2i} = \frac{E_{2i}}{1 - \mu_{12i}\mu_{21i}}$ - приведенные модули упругости основы и утка i -го слоя;

μ_{12i}, μ_{21i} - коэффициенты Пуассона i -го слоя;

G_{12i} - модуль сдвига i -го слоя.

Зная напряжения в слоях, можно произвести послойную оценку прочности пакета по критериям максимальных напряжений и Мизеса-Хилла.

Для того чтобы последовательно вычислить (25) – (29), необходимо определить неизвестные величины $E_{\beta}, G_{\alpha\beta}, \varphi$, которые однозначно определяются структурой пакета. Кроме того, нам пока еще не известны значения толщин панелей $\delta_{\alpha}, \delta_{\beta}, \delta_{H}$, которые можно определить из ранее найденных произведений $(\delta E_{\alpha})_{\alpha}, (\delta E_{\alpha})_{\beta}, (\delta E_{\alpha})_{H}$, зная модули упругости $E_{\alpha\beta}, E_{\alpha\delta}, E_{\alpha H}$. Указанные модули упругости также однозначно определяются структурами пакетов панелей.

Из сказанного выше следует, что для окончательного определения НДС контура поперечного сечения оболочки необходимо задать структуры пакетов панелей.

Модули упругости и сдвига пакета определяются по известным формулам:

$$E_{\alpha} = \bar{B}_{11} - \frac{\bar{B}_{12}^2}{\bar{B}_{22}}, E_{\beta} = \bar{B}_{22} - \frac{\bar{B}_{12}^2}{\bar{B}_{11}}, G_{\alpha\beta} = \bar{B}_{33}, \quad (30)$$

где для структуры пакета $[0^{\circ}, 90^{\circ}, \pm\varphi]$:

$$\begin{aligned} \bar{B}_{11} &= \bar{E}_1\psi_1 + \bar{E}_2\psi_2 + (1 - \psi_1 - \psi_2) [\bar{E}_1 \cos^4 \varphi + 2\bar{E}_1\mu_{21} \sin \varphi \cos \varphi + \\ &+ \bar{E}_2 \sin^4 \varphi + G_{12} \sin^2 2\varphi], \\ \bar{B}_{22} &= \bar{E}_2\psi_1 + \bar{E}_1\psi_2 + (1 - \psi_1 - \psi_2) [\bar{E}_1 \sin^4 \varphi + 2\bar{E}_1\mu_{21} \sin \varphi \cos \varphi + \\ &+ \bar{E}_2 \cos^4 \varphi + G_{12} \sin^2 2\varphi], \\ \bar{B}_{12} &= (\psi_1 + \psi_2)\bar{E}_1\mu_{21} + (1 - \psi_1 - \psi_2) [(\bar{E}_1 + \bar{E}_2) \sin^2 \varphi \cos^2 \varphi + \\ &+ \bar{E}_1\mu_{21} (\cos^4 \varphi + \sin^4 \varphi) - G_{12} \sin^2 2\varphi], \\ \bar{B}_{33} &= (\psi_1 + \psi_2)G_{21} + (1 - \psi_1 - \psi_2) [(\bar{E}_1 + \bar{E}_2 - 2\bar{E}_1\mu_{21}) \times \\ &\times \sin^2 \varphi \cos^2 \varphi + G_{12} \cos^2 2\varphi]; \end{aligned} \quad (31)$$

$\psi_1 = \frac{\delta_0}{\delta_{\Sigma}}$, $\psi_2 = \frac{\delta_{90}}{\delta_{\Sigma}}$ - относительная суммарная толщина слоев с углом

укладки 0° и 90° соответственно;

δ_0, δ_{90} - суммарная толщина слоев с углом укладки 0° и 90° соответственно;

δ_{Σ} - суммарная толщина пакета.

Задавая значения ψ_1, ψ_2 и угол φ для перекрестно армированных слоев в пределах следующих ограничений:

$$\begin{aligned} 0 &\leq \psi_1, \\ 0 &\leq \psi_2, \\ 0 &\leq (\psi_1 + \psi_2) \leq 1, \\ 0^{\circ} &< \varphi < 90^{\circ}, \end{aligned} \quad (32)$$

можно определить все упругие характеристики пакета.

Приведенная выше методика определения НДС, возникающего в поперечном сечении оболочки, позволяет задать последовательность, оптимизации структур и толщины панелей:

1. Задать деформации $\varepsilon_{\sigma}, \varepsilon_{\sigma}, \varepsilon_{H}$ (рис. 2).
2. Из системы уравнений (20) определить произведения $(\delta E_{\alpha})_{\sigma}, (\delta E_{\alpha})_{\sigma}, (\delta E_{\alpha})_{H}$.
3. Для i -й панели открыть циклы по ψ_1, ψ_2 и φ с учетом ограничений (32), в теле цикла производить вычисления:
 - 3.1. Определить упругие характеристики (30) для этой панели;
 - 3.2. Найти из произведения $(\delta E_{\alpha})_j$ толщину панели δ_j .
 - 3.3. Определить деформации пакета панели согласно (10), (25) и (27).
 - 3.4. Определить деформации и напряжения в слоях пакета по формулам (28) и (29).
 - 3.5. Провести послойную оценку прочности панели.
 - 3.6. Найти минимальную толщину пакета δ_j , при которой будут выполняться прочностные ограничения.
4. Минимизировать толщину панелей для остальных панелей аналогично п.3.
5. В том случае, если хотя бы для одной из панелей не было найдено ни одной структуры, при которой выполняются прочностные ограничения, то вернуться в п.1.
6. Продолжать пп. 1 – 5 для всех возможных комбинаций значений $\varepsilon_{\sigma}, \varepsilon_{\sigma}, \varepsilon_{H}$, записывая найденные значения толщины и структуры панелей в массив данных.
7. Отсортировать массив данных по возрастанию массы поперечного сечения оболочки.

Описанная выше методика оптимизации позволяет достаточно быстро найти оптимальные значения толщины и структуры панелей для заданных нагрузок и геометрии контура поперечного сечения оболочки. К примеру, персональный компьютер Intel Celeron с тактовой частотой процессора 2.00 ГГц и оперативной памятью 1.00 ГБ выполняет такой расчет за 3-5 мин.

Для сравнения можно привести время расчета на таком же персональном компьютере программы, которая выполняет прямой перебор всех возможных решений (толщины и структур панелей), решая прямую задачу определения НДС [3] и оценку прочности поперечного сечения оболочки. Это время составляет более 2 часов.

Методика удобна тем, что она позволяет оптимизировать каждую панель в отдельности. Это в значительной степени упрощает алгоритм оптимизации и в конечном итоге код программного продукта.

Можно возразить, что существует большое количество методов условной нелинейной оптимизации, которые позволяют решать задачи с большим количеством неизвестных и ограничений. Однако все эти методы основаны на определении производных 1-го и 2-го порядков от оптимизируемой функции и ограничений, что в нашем случае является усложнением ввиду громоздкости и сложности формул, используемых для расчета НДС слоистых КМ.

Выводы

Представлены теоретические зависимости и упрощенный алгоритм, которые лежат в основе методики оптимизации параметров поперечного сечения панелированного тонкостенного стержня.

Предложенная методика позволяет найти решение в относительных значениях толщины, которые при переходе к абсолютным, как правило, не дают целого числа монослоев. В таких случаях обычно округляют значения толщины в большую сторону до целого числа слоев. Однако здесь такой шаг приведет к перераспределению жесткостей и, возможно, к выходу за прочностные ограничения.

Вторым недостатком методики является то, что она не включает в себя проверки полученных решений на соблюдение ограничений устойчивости и прогиба.

Поэтому следующим этапом в данном исследовании должен быть оптимальный в смысле минимума массы переход от относительных значений толщины к абсолютным без нарушения ограничений прочности, устойчивости и прогиба.

Список использованных источников

1. Веб-сайт компании AIRBUS <http://www.airbus.com>.
2. Веб-сайт компании BOEING <http://www.boeing.com>.
3. Симонов В.С. Проектирование фюзеляжа самолета с замкнутым по полу силовым контуром поперечного сечения / В.С. Симонов // *Авиационно-космическая техника и технология*. Сб. науч. тр. Нац. аэрокосм. ун-т им. Н.Е. Жуковского «ХАИ». – Вып. 1 (37). –Х., 2007.– С. 34 – 39.
4. Васильев В.В. Механика конструкций из композиционных материалов / В.В. Васильев. - М.: Машиностроение, 1988. – 272 с.

Поступила в редакцию 7.02.2009.

*Рецензент: канд. техн. наук, проф. В.В. Кириченко,
Национальный аэрокосмический университет
им. Н.Е. Жуковского «ХАИ», Харьков*